

معرفی مس قیپ پورفیری احتمالی و رگه‌های سیلیسی طلادر در منطقه میرکوه علی میرزا سراب با روش اکتشافات ژئوشیمیایی

عباس مقصودی^۱، محمد یزدی^۱، محمود همپرتو^۲، منصور وثوقی عابدینی^۱

^۱دانشکده علوم زمین، دانشگاه شهید بهشتی، تهران، ایران.

^۲پژوهشکده علوم زمین، سازمان زمین شناسی و اکتشافات معدنی کشور، تهران، ایران.

تاریخ دریافت: ۱۳۸۸/۱۰/۲۲

تاریخ پذیرش: ۱۳۸۹/۰۴/۰۱

چکیده

محدوده اکتشافی میرکوه علی میرزا واقع در شمال سراب در ورقه ژئوشیمیایی ۱:۱۰۰۰۰ مشگین شهر قرار دارد. این محدوده از دیدگاه زمین شناسی ساختاری بخشی از زون البرز باختیری- آذربایجان است. واحدهای سنگی که در محدوده‌های کانی‌زایی رخمنون دارند شامل توفه‌های ریولیتی و داسیتی بهمراه سنگ‌های آشفشانی- نیمه ژرف حداسته تا بازی به سن اثوسن و نیوزن هستند. مطالعات ژئوشیمیایی در محدوده مورد مطالعه به روش رسوب‌آبراهای در مقیاس ۱:۲۵۰۰ و برداشت نمونه‌های لیتوژئوشیمیایی از بالادست نمونه‌های بی‌هنگاری، منجر به معرفی یک محدوده کانی‌زایی مس (به‌احتمال پورفیری) و چند محدوده کانی‌زایی فلزات قیمتی و عناصر پایه در اشکال رگه‌ای برای اولین بار شد. رخداد این کانی‌زایی‌ها در منطقه می‌تواند بخش کوچکی از یک سامانه گرمابی بزرگ باشد که تأثیر این چرخش هموفتی تا پهنه بیش از ۱۰ کیلومتر مربع نسبت به کانی‌زایی مس گسترش داشته است و کانی‌زایی‌های ابی ترمال طلا به همراه سرب و روی و مولیبدن نزدیک به توده کانساری مس، در فاصله دورتر، نقره، آرسنیک، آنتیموان به همراه سرب و روی و در دورترین فاصله به ترتیب کانی‌زایی منگز و بی‌هنگاری‌های عنصر جیوه (در رسوب آبراهای) را تشکیل داده است.

کلیدواژه‌ها: کانی‌زایی مس پورفیری و طلای رگه‌ای، میرکوه علی میرزا، سراب.

***نویسنده مسئول:** عباس مقصودی

E-mail: ab_maghsoudi@yahoo.com

-۱- مقدمه

کنیون در نوادا، حوزه رویشمند در نوادا، کانسار مایلیگان در بریتش کلمبیا و کانسار لیپانتو در فیلیپین اشاره کرد (Jones, 1992). نگارندگان ضمن معرفی کانی‌زایی‌های مس (به‌احتمال پورفیری) و کانی‌زایی‌های رگه‌ای از فلزات پایه و قیمتی در حاشیه آن به بررسی ارتباط فضایی میان کانی‌زایی‌ها و منطقه‌بندی ژئوشیمیایی آنها نیز پرداخته‌اند.

-۲- موقعیت جغرافیایی محدوده مورد مطالعه

محدوده مورد مطالعه در فاصله ۹ کیلومتری شمال شهر سراب و در جنوب باختیری سبلان قرار دارد. این محدوده بخشی از ورقه ۱:۱۰۰۰۰ مشگین شهر است. دسترسی به محدوده اکتشافی از راه جاده آسفالت سراب- رازلیق و جاده خاکی رازلیق- میرکوه علی میرزا ممکن است (شکل ۳).

-۳- پیشنهاد اکتشاف

سرگذشت معدنکاری در شمال سراب با توجه به مدارک اکتشافی و گفته‌های افراد محلی به بیش از ۱۰۰ سال باز می‌گردد که توسط روس‌ها در سرتاسر آذربایجان و این محدوده انجام شده است. پس از ۱۰۰ سال، نخستین گام اکتشافی سیستماتیک که شامل اکتشافات ژئوشیمیایی رسوب آبراهای در ورقه ۱:۱۰۰۰۰ مشگین شهر است، توسط سازمان زمین شناسی و اکتشافات معدنی کشور در سال ۱۳۸۱-۸۲ انجام شد. در ادامه و با توجه به نتایج امیدبخش بررسی یادشده، محدوده شمال سراب به تازگی تحت پوشش اکتشافات ژئوشیمیایی در مقیاس ۱:۲۵۰۰ و اکتشافات لیتوژئوشیمیایی قرار گرفت که نتایج آنها منجر به معرفی تعدادی کانی‌زایی مختلف از جمله فلزات قیمتی و عناصر پایه اولین بار شد.

-۴- زمین‌شناسی

محدوده مورد مطالعه بخشی از زون البرز- آذربایجان است. واحدهای سنگی که در این محدوده‌های کانی‌زایی رخمنون دارند سنگ‌های آذرین مربوط به اثوسن

محدوده اکتشافی میرکوه علی میرزا در ورقه ژئوشیمیایی ۱:۱۰۰۰۰ مشگین شهر و در ناحیه فلز‌زایی آذربایجان قرار دارد. از نظر کانی‌سازی ناجیه آذربایجان یکی از نواحی شناخته شده فلز‌زایی ایران و بیشتر شامل مس پورفیری و طلای نوع ابی ترمال است. بی‌شک، روش ژئوشیمیایی یکی از موقیت‌آمیزترین روش‌های اکتشافی برای کشف کانسارهای یادشده است (Coop, 1973). ترتیب به کارگیری روش‌های مختلف ژئوشیمیایی برای کشف این نوع کانسارها عبارتند از کشف هالهای ثانویه از راه بررسی حوضه‌های آبریز و نمونه‌برداری از رسوبات آبراهای و پس از آن نمونه‌برداری لیتوژئوشیمیایی از سنگ درون گیرهاله‌ها (Geoffroy et al., 1985). نتایج حاصل از داده‌های لیتوژئوشیمیایی با یک الگوی پراکنده‌گی ژئوشیمیایی در بسیاری از نقاط جهان به‌منظور کشف توده‌های کانساری مختلف از جمله کانسارهای پورفیری به کارگرفته شده است. چنین الگوی منطقه‌بندی می‌تواند در کانسارهای پورفیری از مقیاس محلی تا مقیاس ناحیه‌ای به عبارتی از کانی‌سازی مس پورفیری به همراه اسکارن در نزدیکی آن تا کانسارهای رگه‌ای فلزات مختلف در مناطق دورتر وجود داشته باشد (Berger et al., 2008). در این راستا، اولین بار مطالعات کلاسیک منطقه‌بندی فلزی و کانیایی به طور مختصر توسط Emmon (1927) برای کانسارهای پورفیری ارائه شد (شکل ۱) که تا حد زیادی امروزه نیز کاربرد دارد (Jones, 1992). پس از آن، Jerome (1966) یک طرح کلی از منطقه‌بندی در ارتباط با کانی‌زایی پورفیری ارائه داد که در آن کانی‌زایی مس پورفیری به سیله یک هاله پیریتی و همچنین کانی‌زایی‌های سرب و روی، نقره و منگز احاطه شده است. Blevin (2005) منطقه‌بندی فلزی را برای کانسارهای مختلف پورفیری از مقیاس کانسار تا مقیاس منطقه‌ای و ناحیه‌ای ارائه می‌دهد (شکل ۲). Seedorff et al. (2005) عنوان می‌کنند که کانی‌زایی مس پورفیری می‌تواند با کانسارهای طلای ابی ترمال و در مناطق دورتر با کانسارهای فلزات پایه (سرب، روی، نقره و منگز) همراه باشند. چنین الگوی منطقه‌بندی، همچنین ارتباط ژنتیکی میان کانسارهای فلزات پایه و فلزات قیمتی با کانی‌سازی مس پورفیری توسط بسیاری از پژوهشگران دیگر نیز گزارش شده است. از جمله این کانسارها می‌توان به کانسارهای پانگونا در گینه نو، یل در بریتیش کلمبیا،

تا ۱۱ گرم در تن است. همچنین مقادیر قابل توجهی از عناصر منگنز، آنتیموان، آرسنیک و باریت و مولیبدن وجود دارد. شکل‌های ۶ تا ۱۳ نقشه‌های تک متغیره برای چند عنصر مهم حاصل از بررسی ژئوشیمیایی در مقیاس ۱:۲۵۰۰۰ را نشان می‌دهند. با توجه به نقشه‌ها، یافته‌های ژئوشیمیایی رسوب آبراههای در مقیاس ۱:۲۵۰۰۰ نشان‌دهنده هاله‌های ژئوشیمیایی ثانویه گسترهای از عناصر Mo، Cu، Au، Zn، Mn، Sb، As، Pb و Hg در شمال روستای میرکوه علی‌میرزا است که در ارتباط با یک محدوده کانی زایی مس به صورت افسان و استوکورک (احتمالاً پورفیری) و چند محدوده کانی زایی فلاتز قیمتی و عناصر پایه در اشکال رگه‌ای در اطراف و بخش باختری آن هستند. کانی زایی‌های مهم از شمال خاور به جنوب باختر شامل ۱- مس به صورت افسان و استوکورک (Cu-Au porphyry)?، ۲- طلا+سرپ+روی +مولیبدن +نقره (Vein1)، ۳- طلا +مولیبدن (Vein2)- نقره + آرسنیک + سرب + آنتیموان + طلا (Vein3)، ۴- آنتیموان + نقره + منگنز + باریت + سرب + روی (Vein4)، ۵- رگه کلسیت (Vein5) و ۶- منگنز (Vein6) هستند (شکل ۴). کانی زایی‌های یادشده برای اولین بار در این پژوهش معرفی و از کانی زایی مس به سمت حاشیه بررسی می‌شوند:

۱- کانی زایی مس

کانی زایی مس در منطقه مورد مطالعه، به صورت افسان و استوکورک در درون واحد داسیت پورفیر و همچنین کریستال و لیتیک توف‌های داسیتی و ریوداسیتی با سن نوژن قرار دارد (شکل ۱۴). از نظر ساختمانی، کانی زایی در درون یک سطح بیضوی شکل در حاشیه ساختمان حلقوی (Ring Structure) و نیز در محل تقاطع گسل‌های با راستای شمال باختر- جنوب خاور و شمال خاور- جنوب باختر تشکیل شده است (شکل ۴). دگرانی‌های محدوده شامل فیلیک شدید، سریسیت- آرژیلیک و پروپلیتیک هستند. منطقه دگرسانی فیلیک شدید همراه با کانی زایی و دارای منطقه‌بندی عرضی است به گونه‌ای که فاز سولفیدی کالکوپیریت و پیریت در مرکز سامانه، توسط هاله پیریتی عقیم احاطه شده است. در هاله پیریتی نیز مقدار پیریت به سمت حاشیه یک روند کاهشی نشان می‌دهد. بخش برون‌زاد به صورت اکسیدی و خیلی محدود، از کانی‌های لیمونیت، هماتیت، گوتیت، مالاکیت، آزوریت تشکیل شده است. میانگین مقدار مس در ۱۵ نمونه برداشت شده از بخش کانی زایی شده حدود ۰/۸۴ درصد، طلا ۱۰۰ میلی گرم در تن و مولیبدن، نقره، یسموت و سرب و روی به ترتیب ۵، ۶، ۷۲، ۷۷ و ۴۰۴ گرم در تن است. بررسی‌های ژئوشیمی رسوب آبراههای در پایین دست این کانی زایی مقادیر مس بیش از ۱۲۰ گرم در تن دارد و مقدار طلا در ۳ نمونه دارای ۳۸ و ۴۴ میلی گرم در تن است. بررسی‌های میانبارهای سیال بر روی ۴ نمونه کوارتز، دمای همگن شدگی را از ۲۲۸ تا ۴۷۰ درجه سانتی‌گراد (با میانگین ۳۲۵) و شوری میانگین ۵ درصد وزنی معادل NaCl نشان می‌دهد.

۲- رگه شماره ۱ (طلا- سرب- روی- مولیبدن)

رگه ۱ در فاصله ۱ کیلومتری جنوب باختر کانی زایی مس در درون توف‌های داسیت و ریوداسیتی با سن نوژن قرار دارد. کانی زایی طلا با طول بروزند (به صورت منقطع) ۸۰۰ متر و عرض ۰/۵ تا ۳ متر کوارتز ریز بلور در امتداد گسل با راستای N29W و شب نزدیک به قائم تشکیل شده است. در اطراف و مجاور رگه، رگچه‌های سیلیسی همراه با دگرسانی سریسیتی تشکیل شده است. به طرف حاشیه رگه دگرسانی شامل سریسیتی و آرژیلیک در سنگ درون گیر توف‌های داسیتی و ریوداسیتی است. حجم کانی‌های سولفیدی که بیشتر پیریت هستند در این رگه کمتر از ۱ درصد است. میانگین مقدار طلا در ۲۰ نمونه گرفته شده از رگه، ۱۲۰۳ میلی گرم در تن، نقره ۲۲ گرم در تن، مس ۳۰۳ گرم در تن و سرب، روی، مولیبدن، وانادیم و منگنز به ترتیب ۱۲۴۵، ۲۱۹۸، ۲۱۹۸، ۸۵ و ۷۵ گرم در تن است. میانگین دمای همگن شدگی میانبارهای سیال در ۲ نمونه کوارتز، حدود ۱۸۸ درجه سانتی‌گراد با شوری ۲/۶ درصد وزنی معادل NaCl است.

و نوژن هستند (Amidi et al., 1978 و امینی، ۱۳۷۳). اثوسن از نظر ترکیب سنگی شامل گذرازهای آندزیت بازالتی، لاتیت- آندزیت، تراکی آندزیت و تراکی بازالت و نوژن شامل سنگ‌های آذرآواری همراه با آندزیت- تراکی آندزیت و نیز لاتی آندزیت پورفیر و داسیت پورفیر است. سنگ‌های آذرآواری شامل توف‌های ریولیتی و کریستال توف و لیتیک توف‌های داسیتی و ریوداسیتی است (شکل ۴). در منطقه مورد مطالعه، داده‌های ژئوشیمیایی عناصر کمیاب مربوط به سنگ‌های آشفلانی که نسبت به گوشه اولیه بهنجار شده‌اند، بی‌هنجری‌های منفی از عناصر آن و Ti و Nb و همچنین غنی‌شدگی از عناصر LILE نشان می‌دهند که بیانگر ماقمایتیم از نوع کمان آشفلانی قاره‌ای در ارتباط با فروزانش است (شکل ۵). در این نمودار، غنی‌شدگی در عناصر LILE و REE نسبت به HFSE در نتیجه عوامل بسیاری از جمله آلایش پوسته‌ای (Rollinson, 1993) یا ورود سیال‌های آبی به درون گوشه و رویش (Scavenging) عناصر از آن باشد (Hawkesworth et al., 1991; Tasumi et al., 1995).

۵- نمونه‌برداری و تجزیه نمونه‌ها

نمونه‌برداری در شمال سراب شامل سرب آبراههای به روش ژئوشیمی رسوب آبراههای از برگهای ۱:۲۵۰۰۰ رازلیق و گوتلار کنده و نمونه‌برداری لیتوژئوشیمیایی از محلوده‌های بی‌هنجری است (شکل ۳). ۹۰ نمونه ژئوشیمی رسوب آبراههای از برگهای ۱:۲۵۰۰۰ رازلیق و گوتلار کنده و بیش از ۱۰۰ نمونه سنگ از محلوده‌های بی‌هنجری، برای تجزیه و مطالعات مختلف میکروسکوپی برداشت شد. نمونه‌های ژئوشیمی در آزمایشگاه زرکاوان البرز برای عنصر طلا (به روش طیف‌نگاری نشری) و آزمایشگاه‌های سازمان زمین‌شناسی و توسعه علوم زمین برای عناصر دیگر (به روش ICP-OES) تجزیه شدند.

۶- اکتشافات ژئوشیمی و کانی زایی

بررسی‌های ژئوشیمیایی رسوب آبراههای به عنوان ابزار اکتشافی مؤثر برای اکتشاف کانسارهای دارای هاله گستردۀ ژئوشیمیایی مثل کانسارهای پورفیری در بیشتر نقاط جهان به کار رفته است (Learned (1972) (Sinclair, 2007). نشان داد که عناصر طلا، مس، روی، مولیبدن، منگنز و سرب برای شناسایی کانی زایی مس پورفیری بسیار مفید هستند. هاله‌های این عناصر می‌توانند بیش از ۵ کیلومتر در اطراف کانسارهای پورفیری گسترش یابند. منطقه‌بندی ژئوشیمیایی عناصر یادشده و همچنین ارتباط میان کانی زایی عناصر پایه و طلای ابی ترمال با کانی زایی مس پورفیری در بسیاری از نواحی دنیا گزارش شده است (Sillitoe, 1973; Jones, 1992; Hedenquist et al., 1998; Seedorff et al., 2005; Sinclair, 2007

در منطقه مورد مطالعه، بررسی‌های ژئوشیمیایی شامل اکتشافات ژئوشیمیایی رسوب آبراههای در مقیاس‌های ۱:۱۰۰۰۰۰ و ۱:۲۵۰۰۰ و بررسی‌های لیتوژئوشیمیایی از محلوده‌های بی‌هنجری است. اکتشافات ژئوشیمیایی رسوب آبراههای در مقیاس ۱:۱۰۰۰۰۰ بی‌هنجری‌های قوی از عناصر فلاتز قیمتی و عناصر پایه در محلوده‌های مختلف ورقه بویزه در شمال سراب نشان داده است. بی‌هنجری‌های یادشده، پیوستگی فضایی خوب و قابل توجهی دارند و یک هاله ژئوشیمیایی (ثانویه) گستردۀ را تشکیل دادند (مقصودی و همکاران, ۱۳۸۲). محدوده یادشده تحت پوشش اکتشافات ژئوشیمیایی در مقیاس ۱:۲۵۰۰۰ با الک ۱۲۰- مش (با توجه به نتایج Size Fraction (QF) قرار گرفت که نتایج آن ضمن تأیید نتایج ژئوشیمیایی در مقیاس ۱:۱۰۰۰۰۰، بی‌هنجری‌های قوی‌تر و معنی‌داری را از عناصر یادشده نشان داد. به گونه‌ای که در ۱۰۰ نمونه طلا، تغییراتی از ۲۶ میلی گرم در تن تا ۱/۲ گرم در تن دارد. عیار مس در ۲۰۰ نمونه رسوب آبراههای بیش از ۱۰۰ گرم در تن، عیار سرب و روی در ۵۰ نمونه به ترتیب بیش از ۱۵۰ و ۳۵۰ گرم در تن و عیار نقره

۶-۳. رگه شماره ۲ (طلاء- موليدين)

جهت مخالف سری اول و يك روند کلی افزایشی از کانی زایی مس تا کانی زایی آنتیموان و يك روند کاهشی (غیر از عناصر Mn و Ba) در رگه‌های کلسیت و منگنز دارند (شکل ۱۶).

داده‌های يادشده نشان می‌دهند که حاشیه توده کانی‌سازی مس (به احتمال پورفیری) منطقه میرکوه علی میرزا نیز مانند بیشتر کانسارهای مس پورفیری، به وسیله کانی زایی‌های از فلاتات قیمتی و پایه احاطه شده است و با بسیاری از الگوهای منطقه‌بندی ژئوشیمیایی ارائه شده جهانی همخوانی نزدیکی دارد. برای مثال در مقایسه با الگوی ارائه شده توسط Emmons (شکل ۱)، منطقه‌بندی ژئوشیمیایی (مقیاس منطقه‌ای) در منطقه مورد مطالعه، شامل بی‌هنجری‌هایی از عناصر مس و بیسموت در کانی زایی مس (توده احتمالاً پورفیری) است که به سمت حاشیه این توده عناصر طلا، سرب و روی، آرسنیک، آنتیموان، و منگنز ظاهر شده‌اند (به صورت کانی زایی‌های رگه ۱ تا رگه ۶ مورد اشاره در متن) و در دورترین فاصله از توده يادشده، هاله ژئوشیمیایی (ثانویه) از عنصر جیوه (شکل ۱۳) تشکیل شده است. داده‌های يادشده در مقایسه با الگوی ارائه شده توسط Blevin (2005) بیشترین همخوانی را با کانی زایی مس - طلا پورفیری دارد (شکل ۲). همچنین در کانی زایی میرکوه علی میرزا همچون بیشتر کانسارهای پورفیری غنی از طلا در دنیا، هاله‌های مولیدن به طور محلی روی محدوده‌های بیرونی (حاشیه باخته) توده کانی زایی مس - طلا قرار گرفته‌اند و نسبت به این عناصر حالت منطقه‌بندی نشان می‌دهند (مقایسه شود با 2000 Sillitoe). در حاشیه‌ای ترین بخش سامانه نیز، سرد شدن سورابه‌های ماقمایی در اثر واکنش با سنگ‌های دیواره و رقیق شدن آن توسط آب‌های جوی، باعث تشکیل هاله‌های ژئوشیمیایی عناصر دیگر (مانند Zn, Pb, As, Sb, Ba, Ag, Hg) و تمرکز آنها به صورت رگه‌ای شده است. همچنین بررسی‌های ژئوشیمیایی در منطقه مورد مطالعه نشان می‌دهد که عناصر بیسموت، بریلیم و تنگستن با وجود مقادیر پایین، از روند کانی زایی‌ها در منطقه پیروی می‌کنند و يك روند کاهش تدریجی را از توده کانی زایی مس تا کانی زایی منگنز نشان می‌دهند (شکل ۱۵). چنین شواهدی به طور آشکار، معروف سوی حرکت محلول‌های فلزدار است که به احتمال زیاد، از راه گسل‌ها و شکستگی‌های منطقه که نقش کانال توزیع کننده مواد کانساری را ایفا می‌کرده‌اند، جزیان داشته است و نشان از يك ارتباط ژنتیکی میان کانی زایی‌های يادشده دارد.

۷- بحث و نتیجه‌گیری

در محدوده شمال میرکوه علی میرزا بررسی‌های ژئوشیمیایی رسوب آبراهه‌ای و کانی‌سنگین در مقیاس ۱:۲۵۰۰۰ بی‌هنجری بسیار قوی از عناصر طلا، مس، مولیدن، سرب، روی، آرسنیک، آنتیموان و ... را نشان داده است. بررسی‌های صحرایی محدوده‌های بی‌هنجری، منجر به معرفی کانی زایی مس در شمال خاور روسیه میرکوه علی میرزا و کانی زایی‌های فلاتات قیمتی و عناصر پایه در اطراف آن شد که نشان‌دهنده يك الگوی منطقه‌بندی ژئوشیمیایی گستردگی و افقی مشخصی از کانی زایی مس به صورت افشار و استوکورک در مرکز سامانه تا منگنز به صورت رگه‌ای در ۴ کیلومتری جنوب باخته آن است. در فاصله میان کانی زایی مس و منگنز، کانی زایی‌های طلا همراه با سرب و روی و مولیدن در نزدیکی به مرکز سامانه و در فاصله دورتر به ترتیب طلا همراه با نقره، آرسنیک و سرب و روی و کانی زایی آنتیموان و نقره به همراه منگنز و عناصر پایه تشکیل شده است. کانی زایی‌ها در منطقه، بیشتر منطبق بر سیمای ساختمانی گسل خورده و شکسته شده با روند شمال باخته - جنوب خاور و شمال خاور - جنوب باخته است که معرف ماهیت ژنتیکی نهشته‌های کانساری است. بررسی‌های میانبارهای سیال نشان دهنده تغییرات درجه حرارت از ۲۲۸ تا ۴۷۰ درجه سانتی گراد در مرکز سامانه و منطبق بر منطقه دگرسانی فیلیک

رگه ۲ از نظر موقعیت در بخش بیرونی و به فاصله ۱۲۴۰ متری جنوب باخته کانی زایی مس و ۲۴۰ متری باخته رگه ۱ قرار دارد. کانی زایی در رگه ۲ به طور چیره طلا بوده و از نظر نقره و عناصر پایه قیفر است. رگه يادشده به طول بروزند حدود ۵۰۰ متر و عرض ۰/۵ تا ۲ متر در امتداد گسل با راستای N25W در سنگ درون گیر توف‌های داسیتی و ریوداسیتی جای دارد. دگرسانی در این کانی زایی مشابه رگه ۱ است. سولفیدی شدن نیز کمتر از ۱ درصد و بیشتر شامل پیریت است. میانگین مقدار طلا در ۹ نمونه ۱۴۰۱ میلی گرم در تن، مولیدن ۱۱۲ میلی گرم در تن، نقره ۱۱ گرم در تن، مس ۱۰۰ گرم در تن و سرب، روی و وانادیم به ترتیب ۴۸۷، ۸۰ و ۱۵۸ گرم در تن است. میانگین دمای همگن شدگی میانبارهای سیال در ۱ نمونه کوارتز برابر با ۱۷۳ درجه سانتی گراد با شوری ۳ درصد وزنی معادل NaCl است.

۶-۴. رگه شماره ۳ (نقره- آرسنیک- طلا- سرب)

کانی زایی در رگه ۳ (شامل نقره، آرسنیک، سرب و طلا) با طول بروزند ۱۵۰ متر و عرض حدود ۰/۵ تا ۱ متر به فاصله ۱۸۸۰ متری جنوب باخته کانی زایی مس قرار دارد. کانی زایی در امتداد گسل با راستای N40W جای دارد. از نظر دگرسانی و سولفیدی شدن مانند دو رگه پیشین است. میانگین مقدار طلا در ۳ نمونه، ۱۹۴ میلی گرم در تن، نقره ۱۵۴ گرم در تن، آرسنیک ۱۵۷ میلی گرم در تن، آنتیموان ۵۹۷ گرم در تن و سرب، روی و وانادیم به ترتیب ۱۹۱۸، ۱۶۹ و ۴۶ گرم در تن است. رگه يادشده میانبارهای سیال برای اندازه گیری دما نداشت.

۶-۵. رگه شماره ۴ (آنتیموان- نقره- منگنز- سرب- روی- باریم)

کانی زایی در رگه کوارتز به طول ۳۵۰ متر و عرض ۰/۵ تا ۱/۵ متر در ۲/۵ کیلومتری جنوب باخته کانی زایی مس تشکیل شده است. کانی زایی روند N50E با شبیه بیش از ۷۵ درجه دارد. دگرسانی در اطراف کانی زایی ضعیف و به صورت پروپلیتی و آرژیلیک است. میانگین مقدار عناصر آنتیموان، نقره، منگنز، سرب، روی و باریم در ۴ نمونه به ترتیب برابر با ۱۳۸۳، ۱۷۶، ۲۱۷۷، ۲۱۷۶، ۱۲۰۲۴، ۴۵۷۱۶، ۱۳۸۳ و ۴۰۳۹ میلی گرم در تن و مقدار طلا ۱۷۹ میلی گرم در تن است. میانگین دمای همگن شدگی میانبارهای سیال بر اساس ۳ نمونه کوارتز با تعداد ۲۵ اندازه گیری، حدود ۲۲۵ درجه سانتی گراد و شوری ۵ درصد وزنی معادل NaCl است.

۶-۶. رگه شماره ۵ (کلسیت)

رگه کلسیت با طول بروزند ۴ متر و عرض ۰/۵ تا ۱ متر در فاصله ۳/۵ کیلومتری جنوب باخته کانی زایی مس و ۱ کیلومتری جنوب باخته کانی زایی آنتیموان تشکیل شده است. رگه با راستای N55E در درون واحد توف روش رویلیتی با سن نئوژن قرار دارد. مقدار طلا در ۱ نمونه از رگه ۶۶ میلی گرم در تن، مقادیر نقره، مس، سرب و روی به ترتیب ۶ و ۲۵ گرم در تن، باریم دارای ۰/۲۳ درصد و استرانسیم ۰/۱ درصد است. مطالعه يك نمونه میانبارهای سیال میانگین دمای همگن شدگی ۱۶۳ درجه سانتی گراد با شوری ۳/۸ درصد وزنی معادل NaCl را نشان داده است.

۶-۷. رگه شماره ۶ (کوارتز- منگنز)

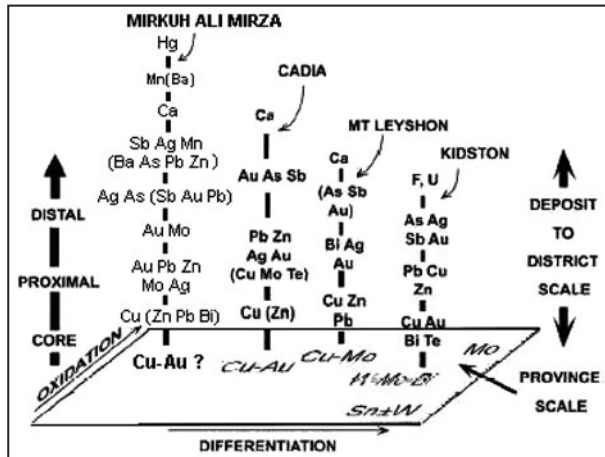
کانی زایی منگنز با گسترش محدود در فاصله ۳/۸ کیلومتری جنوب باخته کانی زایی مس تشکیل شده است. ۱ نمونه برداشت شده از این رگه بیش از ۱۲ درصد منگنز و ۴۶۰ گرم در تن باریم دارد. در این نمونه مقدار طلا ۵۰ میلی گرم در تن و مقادیر مس، سرب و روی به ترتیب ۱۱، ۷۷ و ۱۴۴ گرم در تن است. میانگین دمای همگن شدگی میانبارهای سیال بر اساس مطالعه يك نمونه با تعداد ۷ اندازه گیری، ۱۷۴ درجه سانتی گراد با شوری ۵ درصد وزنی معادل NaCl است.

بررسی‌های آماری داده‌های لیتوژئوشیمیایی در کانی زایی‌های ياد شده نشان می‌دهد که عناصر Au, W, Be, Mo, S و يك روند کاهشی از کانی زایی مس پورفیری (احتمالی) تا کانی زایی منگنز واقع در ۳/۸ کیلومتری حاشیه آن دارند (شکل ۱۵). اما عناصر As, Sb, Ag, Pb, Zn و Mn بر عکس، گسترشی در

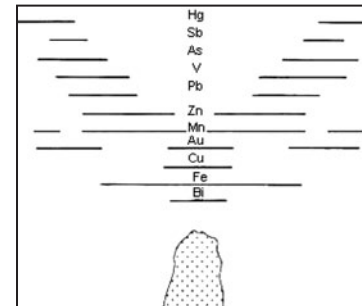
سپاسگزاری

این مطالعه در چارچوب طرح سازمان زمین‌شناسی انجام شده است. نگارندگان بدین وسیله مراتب سپاس خود را نسبت به همکاری‌های جناب آقای مهندس عابدیان و جناب آقای مهندس شاهین ابراز می‌دارند.

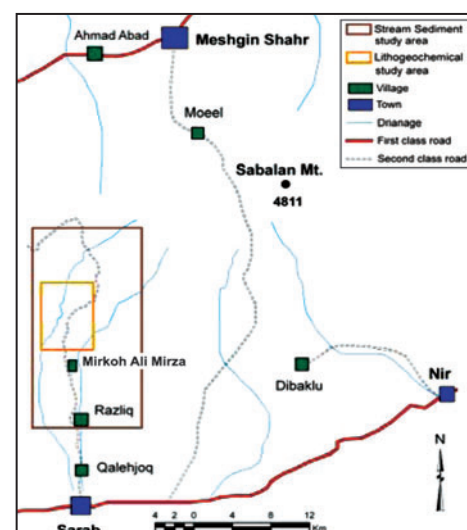
کانی‌زایی مس (با احتمال پورفیری) تا مقادیر حدود ۱۶۰ درجه در رگه کلستیت و حدود ۲۰۰ درجه در کانی‌زایی‌های (ایپرمال) اطراف آن هستند. بی‌هنجاری‌ها و منطقه‌بندی‌های ژئوشیمیایی در کنار اطلاعات زمین‌شناسی، میانبارهای سیال و دگرسانی نشان‌دهنده وجود پتانسیل خوبی برای کانی‌سازی مس - طلای پورفیری به همراه کانی‌زایی طلا و عنصر پایه به صورت رگه‌ای در این محدوده است.



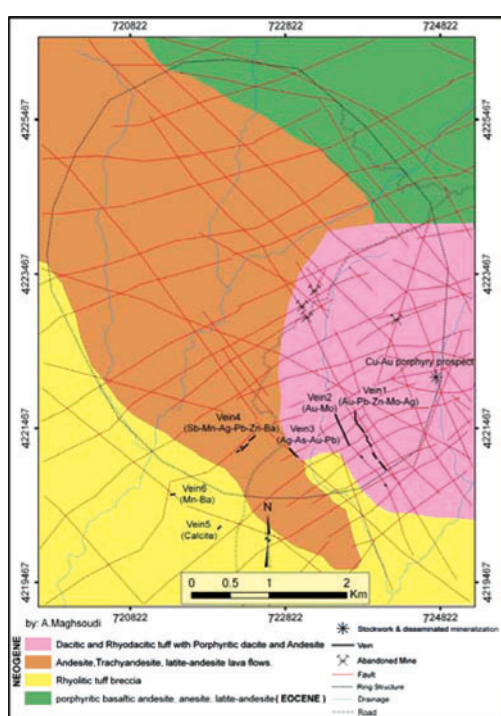
شکل ۲- منطقه‌بندی فلزی در اطراف کانسارهای پورفیری (Blevin, 2005). منطقه‌بندی جانبی (مقیاس منطقه‌ای) در اطراف توده کانی‌زایی مس (پورفیری) میرکوهعلی میرزا برای مقایسه آورده شده است.



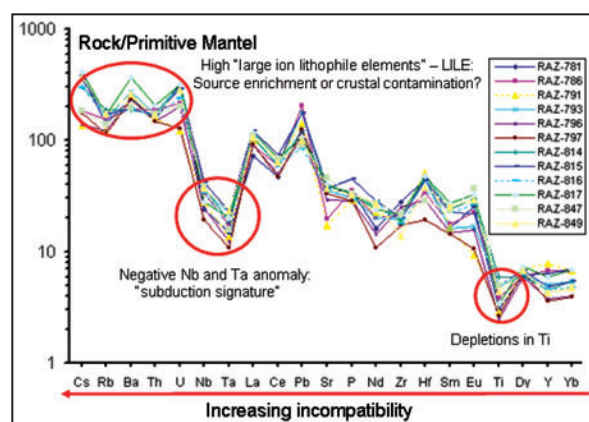
شکل ۱- منطقه‌بندی فلزی در اطراف کانی‌زایی مس
.پورفیری (Emmons, 1927)



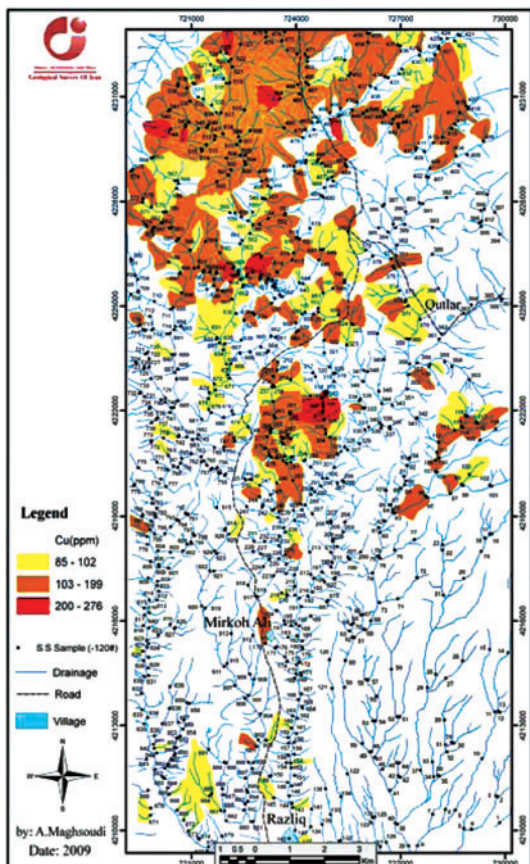
شکل ۳- راههای دسترسی به منطقه و موقعیت محدوده‌های مورد مطالعه.



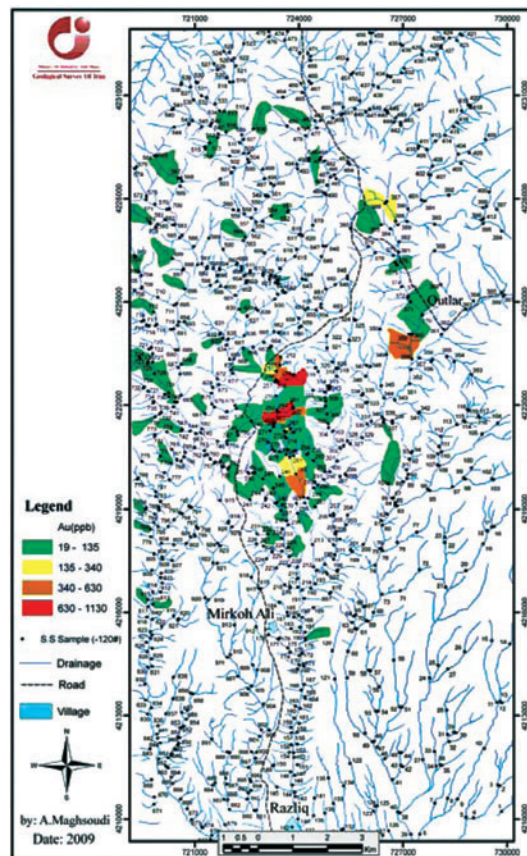
شکل ۴- نقشه زمین‌شناسی منطقه میرکوهعلی میرزا و موقعیت کانی‌زایی مس (به احتمال پورفیری) و کانی‌زایی‌های اپی‌ترمال اطراف آن.



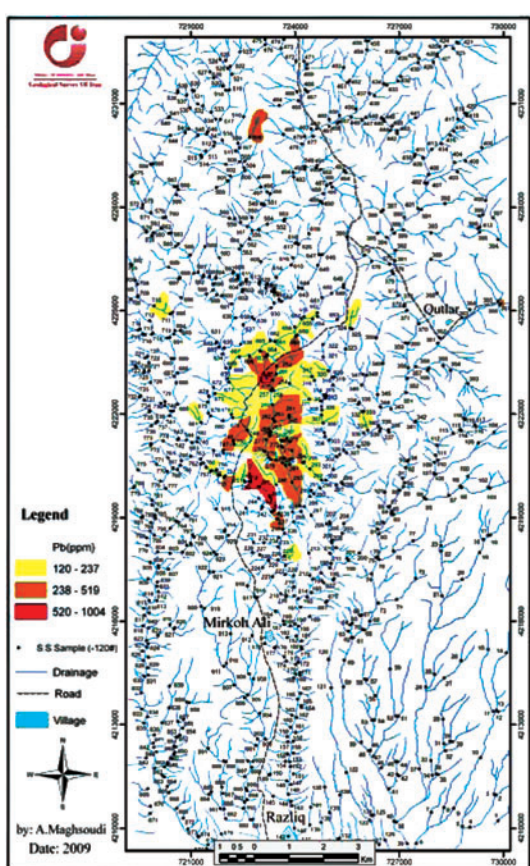
شکل ۵- نمودار عناصر کمیاب نسبت به گوشه‌های اولیه برای ۱۲ نمونه سنگ آتش‌نشانی حدواسط میرکوهعلی میرزا بر اساس (McDonough & Sun 1995) که الگوی مگماتیسم کمان قاره‌ای را نشان می‌دهد.



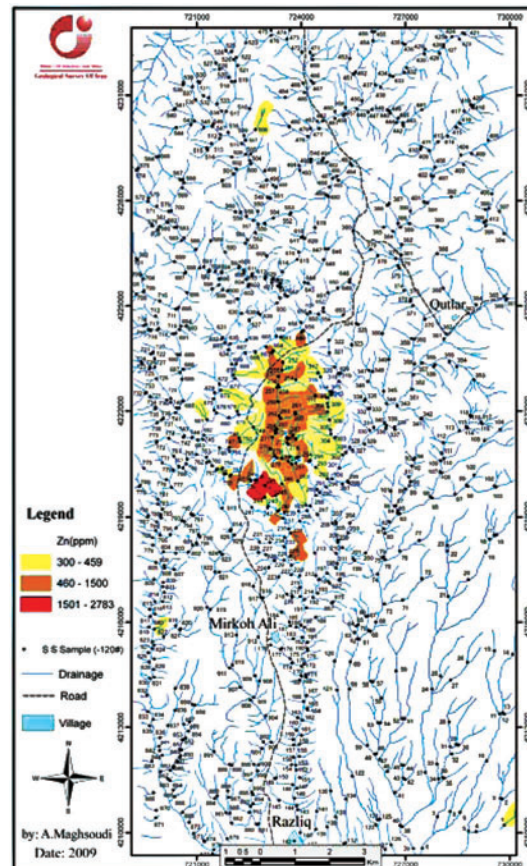
شکل ۷- پراکندگی مس در برگه‌های رازلیق و گوتلار کندي.



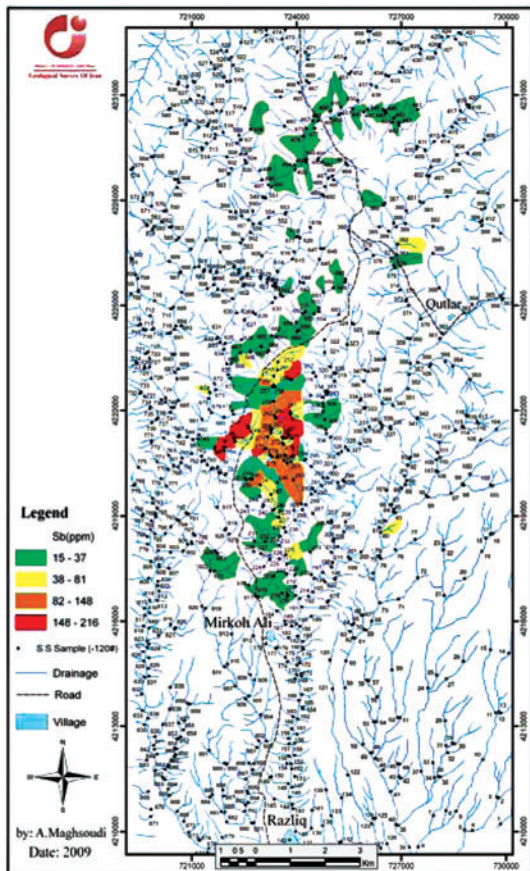
شکل ۶- پراکندگی طلا در برگه‌های رازلیق و گوتلار کندي.



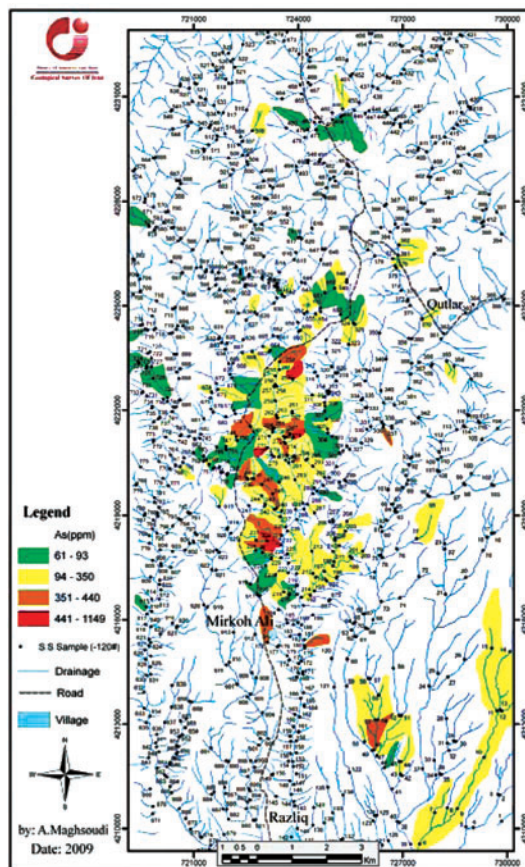
شکل ۹- پراکندگی سرب در برگه‌های رازلیق و گوتلار کندي.



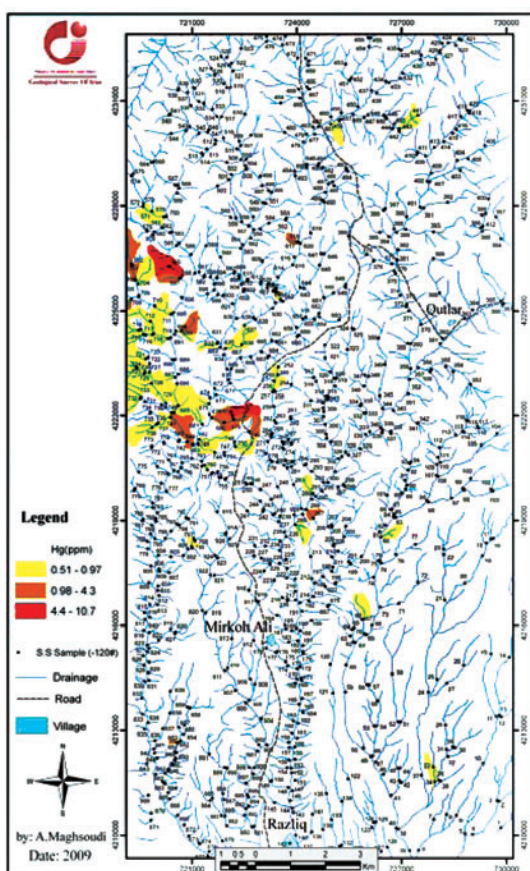
شکل ۸- پراکندگی روی در برگه‌های رازلیق و گوتلار کندي.



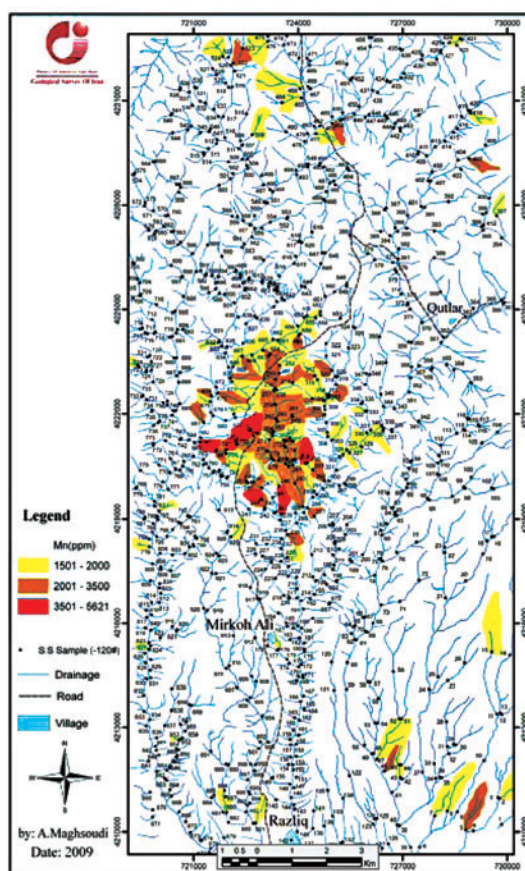
شکل ۱۱- پراکندگی آنتیموان در برگههای رازلیق و گوتلارکندي.



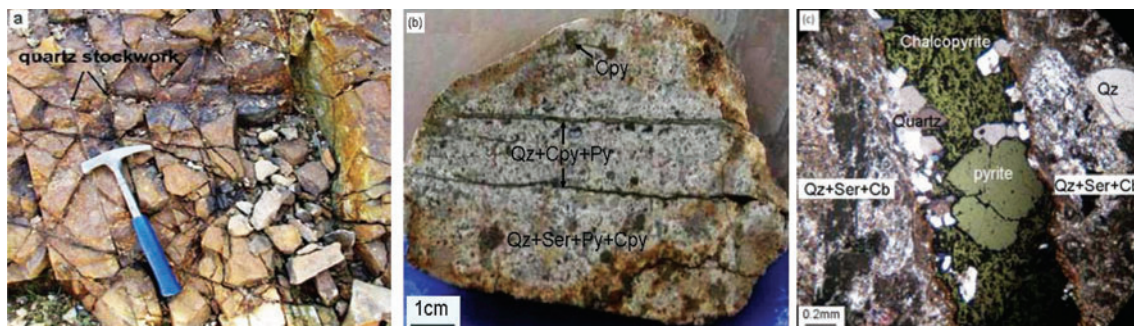
شکل ۱۰- پراکندگی آرسنیک در برگههای رازلیق و گوتلارکندي.



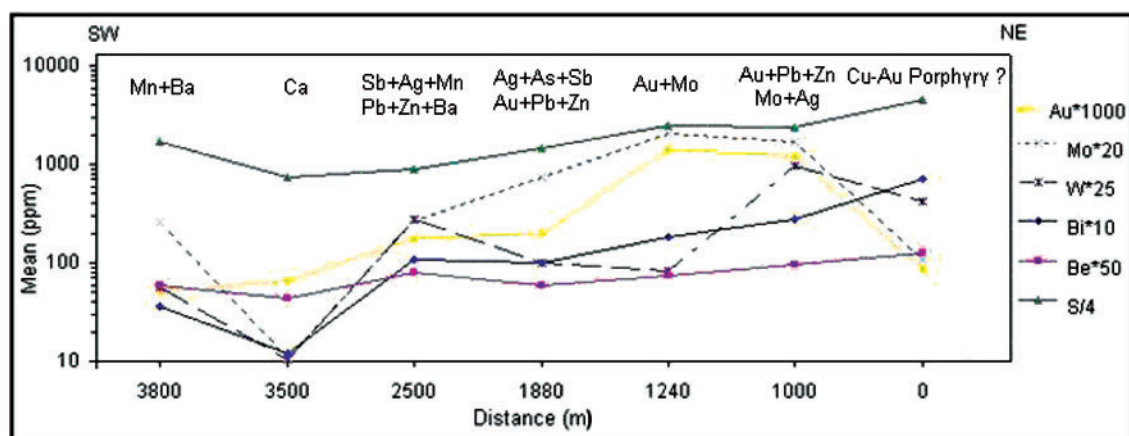
شکل ۱۳- پراکندگی جیوه در برگههای رازلیق و گوتلارکندي.



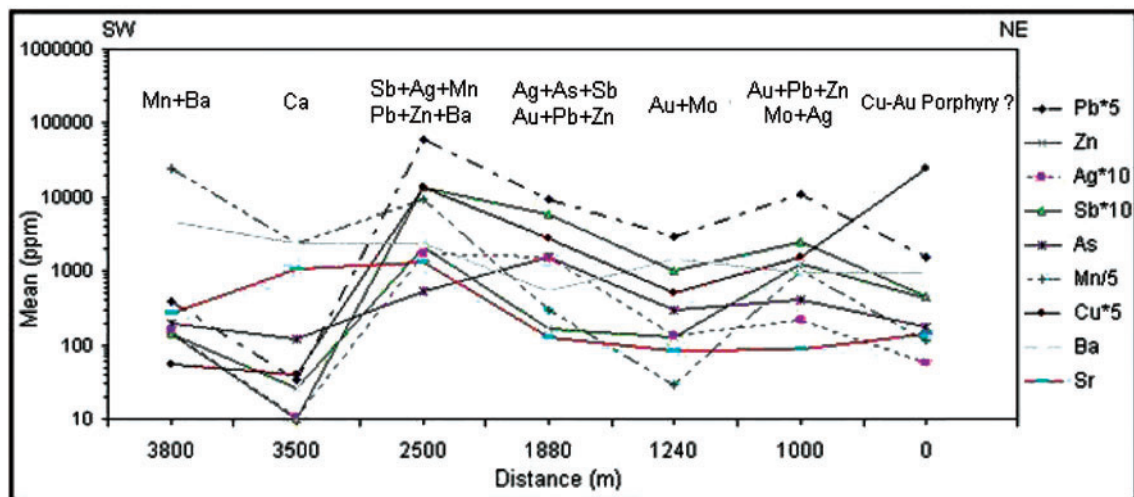
شکل ۱۲- پراکندگی منگنز در برگههای رازلیق و گوتلارکندي.



شکل ۱۴- (a) رگه و رگجه‌های استوکور کی کوارتز دارای پیریت - کالکوپیریت در زون فیلیک، (b) کانی زایی پیریت - کالکوپیریت به صورت استوکور کی و پراکنده در زون فیلیک. (c) تصویر میکروسکوپی از کانی زایی کالکوپیریت و پیریت در زون فیلیک توده کانی زایی مس میرکوه علی میرزا.



شکل ۱۵- تغییرات مقدار میانگین عناصر طلا، تنگستن، مولیدن، بریلیم، بیسموت و گوگرد از توده کانی زایی مس (به احتمال پورفیری) تا منگتر.



شکل ۱۶- تغییرات مقدار میانگین عناصر سرب، روی، نقره، آنتیموان، آرسنیک، منگتر، مس، باریم و استرانسیم از توده کانی زایی مس (به احتمال پورفیری) تا منگتر.

کتابنگاری

امینی، ب.، ۱۳۷۳- نقشه زمین‌شناسی مشگین‌شهر در مقیاس ۱:۱۰۰۰۰، سازمان زمین‌شناسی کشور.
مقصودی، ع.، یونسی، س. و نعمتی، م.، ۱۳۸۲- اکشافات ژئوشیمیایی-کانی‌سنگین در ورقه ۱:۱۰۰۰۰ مشگین‌شهر، سازمان زمین‌شناسی کشور.

References

- Amidi, M., Lescuyer, J. L. & Riou, R., 1978- Geological Map of Ahar 1:250000 sheet. Geological Survey of Iran.
- Berger, B. R., Ayuso, R. A., Wynn, J. C. & Seal, R. R., 2008- Preliminary Model of Porphyry Copper Deposits, U.S. Geological Survey Open-File Report 2008-1321, 55p.
- Blevin, P. L., 2005- Intrusion Related Gold Deposits. www.ga.gov.au/about/corporate/ga_authors/Expl_models/PL_Blevin_IRGD.jsp
- Coop, J. A., 1973- Geochemical Prospecting for Porphyry type mineralization-a review. *J.Geochem. Explor.*, 2, 81-102.
- Emmons, W. H., 1927- Relations of metalliferous lode systems to igneous intrusives. *Trans.Amer.Inst. of Mining and Metall. Eng.*, 74: 29-70.
- Geoffroy, J. D. & Wingall, T. K., 1985- Designing Optimal Strategies for Mineral Exploration, Plenum Press, New York.
- Hawkesworth, C. J., Hergt, J. M., Mcdermott, F. & Ellam, R. M., 1991- Destructivemargin magmatism and the contribution from the mantle wedge and subduct crust: *Australian Journal of Earth Science*, v.38, p.577-594.
- Hedenquist, J. W., Arribas, A., J. R. & Reynolds, T. J., 1998- Evolution of an intrusion-centeredhydrothermal system; Far Southeast-Lepanto porphyry and epithermal Cu-Au deposits, Philippines: *Economic Geology*, v. 93, p. 373-404.
- Jerome, S. E., 1966- Some features pertinent in exploration of porphyry copper deposits. In: Titley, S. R., and Hicks, C. L., Eds., *Geology of the Porphyry Copper Deposits, Southwestern, North America*. University of Arizona Press, Tucson, AZ, pp. 75-85.
- Jones, B. K., 1992- Application of metal zoning to gold exploration in porphyry copper systems: *Journal of Geochemical Exploration*, v. 43, p. 127-155.
- Learned, R. E., 1972- Gold, a useful pathfinder element in the search for porphyry copper deposits in Puerto Rico: *Proceedings of the Fourth International Geochemical Exploration Symposium*, London, April 17-20.
- McDonough, W. F. & Sun, S., 1995- The composition of the earth: *Chemical Geology*, v. 120, p.223-253.
- Rollinson, H., 1993- Using Geochemical Data: Evaluation, Presentation, Interpretation, Longman Scientific & Technical, United Kingdom, 352p.
- Seedorff, E., Dilles, J. H., Proffett, J. M., Einaudi, M. T., Zurcher, L., Stavast, W. J. A., Johnson, D. A. & Barton, M. D., 2005- Porphyry deposits-Characteristics and origin of hypogene features: *Society of Economic Geologists, Economic Geology 100th Anniversary Volume*, p. 251-298.
- Sillitoe, R. H., 1973- The tops and bottoms of porphyry copper deposits: *Economic Geology*, v. 68, p. 799-815.
- Sillitoe, R. H., 2000- Gold-rich porphyry deposits: Descriptive and genetic models and their role in exploration and discovery, in: *Gold in 2000, SEG Reviews in Economic Geology* v.13, p.315-345.
- Sinclair, W. D., 2007- Porphyry deposits, in Goodfellow, W.D., ed., *Mineral deposits of Canada: Geological Association of Canada Special Publication 5*, p. 223-243.
- Tatsumi, Y., Kosligo, T. & Nohda, S., 1995- Formation of a third volcanic chain in Kamchatka: generation of unusual subduction-related magmas: *Contrib. Mineral. Petrol.*, v.120, p.117-128.